

Первыми во фронте пламени ацетилена образуются такие же ионы, как в пламенах углеводородов [8]: CHO^+ , CH_2O^+ и ион 32 а. е. м. Относительная скорость образования первичных ионов зависит от коэффициента избытка окислителя. Для CH_2O^+ она максимальна в околосхиометрическом пламени, для CHO^+ — в более богатом топливом, а для иона 32 а. е. м. — в более бедном. В исследуемом интервале α ион C_3H_3^+ в ацетиленовом пламени не является первичным.

Таким образом, закономерности образования ионов во фронте и непосредственно перед ним в ацетиленовом пламени близки к наблюдающимся в пламенах других топлив, тогда как в низкотемпературной области они различны.

ЛИТЕРАТУРА

1. Calcote I. F. // Combust. Flame.— 1981.— 42, N 3.— P. 215—242.
2. Fialkov A. B., Larionova I. A., Fialkov B. S. // 23th Int. Symp. of Combust.— Combust. Inst., 1990.— P. 347—353.
3. Фиалков А. Б., Ларионова И. А., Фиалков Б. С. // Структура газофазных пламен: Материалы Междунар. семинара по структуре газофазных пламен.— Новосибирск, 27—31 июля 1986.— Новосибирск, 1988.— Ч. I.— С. 187—205.
4. Каандопуло Г. И., Дубинин В. В. Химия газофазного горения.— М.: Химия, 1987.— 241 с.
5. Ларионова И. А., Фиалков А. Б., Фиалков Б. С. и др. // Хим. физика.— 1990.— 9, № 12.— С. 1596.
6. Фиалков А. Б., Муравлев В. К., Фиалков Б. С. О влиянии электрического поля на излучение радикалов C_2^* и CH^* в углеводородных пламенах // ФГВ.— 1981.— 17, № 2.— С. 152.
7. Фиалков А. Б., Фиалков Б. С. Экспериментальное определение первичных и промежуточных ионов во фронте пламени // Там же.— 1988.— 24, № 5.— С. 70.
8. Фиалков А. Б. // Дис. ... канд. физ.-мат. наук.— Караганда, 1984.— 224 с.
9. Hayhurst A. N., Jones H. R. N. // J. Chem. Soc. Faraday Trans.— 1987.— 2, N 83.— P. 21.

2. Караганда

УДК 539.215.4 : 542.921.4

A. Ф. Баранов, В. Ф. Присняков, Э. И. Таран

РАННИЕ СТАДИИ ОБРАЗОВАНИЯ САЖИ В ДИФФУЗИОННЫХ УГЛЕВОДОРОДНЫХ ПЛАМЕНАХ НИЗКОГО ДАВЛЕНИЯ НА ВСТРЕЧНЫХ СТРУЯХ

Изучены ранние стадии образования сажи в углеводородных пламенах низкого давления на встречных струях. Предложен механизм образования агрегатов и отдельных сферических частиц сажи. Предполагается, что образование физической поверхности предшествует возникновению каркаса из углеродных цепочечных молекул в результате их поляризационного и дипольного взаимодействий с заряженными зародышами сажи.

При сжигании углеводородов сравнительно простые молекулы топлива, содержащие небольшое количество атомов, быстро превращаются в огромный агрегат, состоящий из 10^6 — 10^7 атомов углерода. Структура и размеры сферических частиц (10—50 им), образующих эти агрегаты, очень слабо зависят от условий сжигания топлива и его природы. Электронно-микроскопические исследования сажи позволили обнаружить в частице определенную структуру: около ее края изогнутые углеродные слои следуют за очертаниями поверхности и имеют более высокую плотность, а внутри они расположены более или менее регулярно вокруг определенных центров [1, 2]. Предполагается, что такая структура мо-

© А. Ф. Баранов, В. Ф. Присняков, Э. И. Таран, 1993.

7 Физика горения и взрыва № 3, 1993 г.

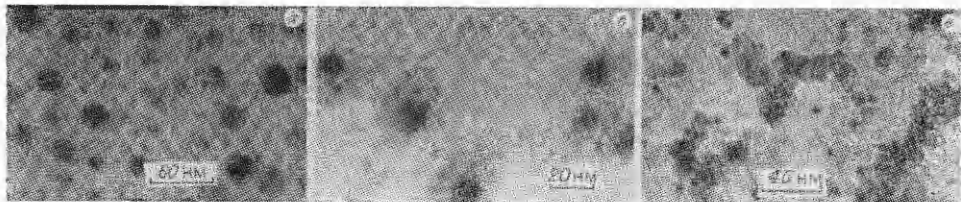


Рис. 1. Электронно-микроскопические снимки проб сажи, образующейся в диффузионных углеводородных пламенах на встречных струях.
а, б — пламя ацетилена в переменном и постоянном электрических полях напряженностью 200 В/см соответственно, частота переменного поля 50 Гц; в — пламя бензола.

жет быть связана с коагуляцией и последующим совместным поверхностным ростом скоагулировавшихся частиц на ранних стадиях сажеобразования. Однако этот механизм не объясняет, почему частицы растут до указанных размеров и могут иметь внутри более низкую плотность. Кроме того, поверхностный рост — относительно медленный процесс — эффективно протекает уже после образования физической поверхности [3], поэтому неясно, каким образом он может скрыть следы коагуляции, которая для роста малых частиц должна быть преобладающей.

В настоящей работе на основе исследований процессов сажеобразования в диффузионных углеводородных пламенах на встречных струях предложен механизм образования сферических частиц и агрегатов сажи, который позволяет объяснить их быстрый рост, структуру, а также относительное постоянство размеров и форму сферических частиц.

Образование сажи исследовалось в ацетиленокислородном диффузионном пламени на встречных струях при давлении 30 Торр. Пробы отбирались непосредственно на электронно-микроскопические сетки, помещенные на контролируемые промежутки времени ниже пиролизной зоны. Описание эксперимента дано в [4]. На рис. 1 приведены электронно-микроскопические снимки сажи на разных стадиях образования. На ранних и более поздних стадиях частицы имеют близкие размеры, ~20 нм (рис. 1, а), и сохраняют форму. Иногда вокруг уже сконцентрировавшихся плотных частиц наблюдался сферический ореол со значительно меньшей плотностью, чем у центральной частицы. На границе ореола просматривается образование вторичной физической поверхности (рис. 1, б).

Проведено фотометрирование электронно-микроскопических снимков частиц на разных стадиях образования. На основании полученных данных можно сделать вывод, что изменение контрастности частиц вызвано увеличением плотности поверхности, без заметного радиального роста. Рентгеноструктурным анализом в ацетиленовой саже обнаружены цепочки $(-\text{C}=\text{C}-)_n$ в виде α -карбина и зародыши сажи размером не более 2 нм [5], которые играют важную роль в формировании структуры сажи.

Относительное постоянство размеров сажевых частиц, находящихся на разных стадиях роста, позволяет сделать вывод, что в пламени вокруг зародыша сажи очень быстро образуется пространственная структура, каркас, на котором в последующих более медленных процессах образуется поверхность частицы. Каркас имеет низкую плотность, а его размеры и форма определяют размеры и форму частицы.

Предлагаемый механизм получения легкого сферического каркаса основан на поляризационном и дипольном взаимодействиях углеродных цепей с заряженными зародышами сажи [6, 7]. При горении углеводородов в пламени в больших концентрациях образуются полиацетилены [8, 9]. Длина полиацетиленовых цепочек может достигать пятнадцати функциональных групп $-\text{CH}=\text{CH}-$ [10]. Для полиацетиленов характерна некоторая дислокация π -электронов, которая приводит к образованию сверхмолекулярной орбитали [11]. В такой системе под действи-

ем внешнего электрического поля создается возможность свободного перемещения π-электронов вдоль молекулярной цепи, что может приводить к значительной степени поляризации поликаетиленовых цепей в электрическом поле. Поэтому логично предположить, что в поле заряженного зародыша в поликаетиленовой цепи будет индуцироваться дипольный момент, как в проводнике.

Цепочки атомов углерода в поликаетилене имеют регулярные изгибы. Для оценочных расчетов степени ориентации поликаетиленовую цепочку можно представить в виде вытянутого эллипсоида вращения. Среднее значение степени ориентации проводящего эллипсоида вращения в постоянном электрическом поле напряженностью E с учетом броуновского движения [12] находим по выражению

$$\overline{\cos \theta} = \frac{e^{\lambda^2} - 1}{2\lambda \int_0^{\lambda} e^{x^2} dx}, \quad (1)$$

где θ — угол между направлением поля и полярной осью эллипса;

$$\lambda^2 = \frac{E^2 \vartheta \left(\frac{1}{\chi_1} - \frac{1}{\chi_2} \right)}{2kT}; \quad (2)$$

ϑ — объем эллипса. Коэффициенты χ_1 и χ_2 выражаются через отношение большой и малой оси эллипса β следующим образом:

$$\begin{aligned} \chi_1 &= \frac{1}{\beta^2 - 1} \left[\frac{1}{V \beta^2 - 1} \ln (\beta + V \beta^2 - 1) - 1 \right], \\ \chi_2 &= \frac{\beta}{2(\beta^2 - 1)} \left[\beta - \frac{1}{V \beta^2 - 1} \ln (\beta + V \beta^2 - 1) \right]. \end{aligned}$$

Для оценки степени ориентации поликаетиленовых цепей в электрическом поле заряженного зародыша положим в (2) $E = q/R^2$, где q — заряд зародыша, R — расстояние от зародыша до середины цепи.

На рис. 2 приведена зависимость степени ориентации поликаетиленовых цепей от расстояния R , длины цепи L и заряда зародыша. На основе этих оценок можно сделать вывод, что цепи длиной ~3 нм могут ориентироваться в поле единичного точечного заряда зародыша и, следовательно, соединяясь с зародышем и между собой, образовывать каркас частицы. Поскольку цепи ориентируются радиально в электрическом поле зародыша, то процесс радиального роста частицы за счет образования каркаса будет опережать процесс образования физической поверхности. Но поскольку с увеличением R степень ориентации быстро убывает на расстояниях порядка длины цепи, то после достижения частицей радиуса, большего длины цепи, радиальный рост каркаса практически прекращается и образуется физическая поверхность.

Следует заметить, что углеводородные цепочки в пламени являются радикалами и могут иметь собственный дипольный момент, что также будет приводить к образованию каркаса в результате их дипольного взаимодействия с заряженным зародышем, а также к удлинению углеродных цепей при их диполь-дипольном взаимодействии. Так как процесс образования физической поверхности относительно медленный, то в пламенах, как правило, до образования поверхности, происходит коагуляция каркасов частиц и уже затем образование общей физической по-

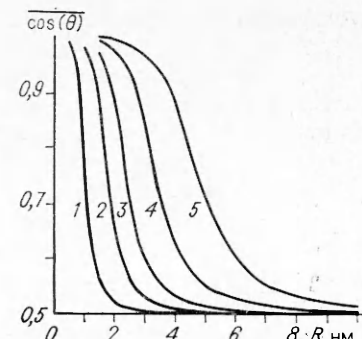


Рис. 2. Зависимость $\overline{\cos \theta}$ от расстояния R ; $\beta = 4$; $q = 1$ (1–3), 2 (4), 4 (5); $L = 10$ (1), 20 (2), 30 (3–5) нм.

верхности. Таким образом, в пламенах обычно образуются не отдельные сферические частицы, а цепочечноподобные агрегаты.

Если уже сформировавшаяся частица приобретет в пламени достаточный электрический заряд и окажется в зоне, где активно образуются цепи, то на ней может возникнуть вторичный каркас (см. рис. 1, б), а на нем — физическая поверхность.

Ароматические углеводороды при $T < 1750 \div 1800$ К порождают в пламени при отрыве атомов водорода радикалы с ароматической структурой, которые участвуют в образовании радикалов зародышей и более плотных, чем в ацетилене, сажевых частиц [3]. Поэтому появляющаяся при горении, например, бензола сажа имеет две системы: более крупные сферические частицы низкой плотности, сконгелировавшиеся в цепочечноподобные агрегаты и нескоагулировавшиеся мелкие, но плотные частицы, на которых может при описанных выше условиях происходить построение вторичного каркаса (см. рис. 1, в).

Предложенный механизм позволяет качественно объяснять особенности структуры и процессов образования сажи.

ЛИТЕРАТУРА

1. Haynes B. S., Wagner H. Gg. Soot formation // Prog. Energy Combust. Sci.—1981.—17, N 4.—P. 229—273.
2. Heidenreich R. D., Hess W. M., Ban L. L. A test object and criteria for high resolution electron microscopy // J. Appl. Crystallogr.—1968.—N 1.—P. 1—19.
3. Теснер П. А. Образование углерода из углеводородов газовой фазы.—М.: Химия, 1972.—136 с.
4. Taran E. N. The effect of alternating electric field on the soot formation in low-pressure diffusion counterflow hydrocarbon flames // IV Int. Seminar.—Novosibirsk, 1992.—P. 56.
5. Таран Э. Н. О структуре сажи // Адсорбция и хроматография макромолекул эластомеров: Материалы II Всесоюз. семинара по адсорбции и жидкостной хроматографии эластомеров.—М., 1989.—4.1.—С. 190—201.
6. Таран Э. Н., Присяжков В. Ф. О природе сажи // Структура газофазных пламен: Материалы II Междунар. семинара по структуре газофазных пламен.—Новосибирск: ИТПМ СО АН СССР, 1988.—4.1.—С. 104—113.
7. Calcote H. F. Mechanisms of soot nucleation in flames — a critical review // Combust. Flame.—1981.—42.—P. 215—242.
8. Bonne U., Homann K. H., Wagner H. Gg. Carbon formation in premixed flames // Tenth Symp. (Int.) on Combust., The Combust. Inst., Pittsburgh.—1965.—P. 502—512.
9. Homann K. H., Wagner H. Gg. Some new aspects of the mechanism of carbon formation in premixed flames // Eleventh Symp. (Int.) on Combust., The Combust. Inst., Pittsburgh.—1967.—P. 371—379.
10. Wegner G. // Angew. Chem. Int.—1986.—20.—S. 361.
11. Гарнёв Ф. Проводящие полимеры // УФН.—1989.—157, вып. 3.—С. 513—527.
12. Фукс Н. А. Механика аэрозолей.—М.: Изд-во АН СССР, 1955.—352 с.
г. Киев

УДК 542.921.4 : 539.215.4

Э. Н. Таран

ВЛИЯНИЕ ПЕРЕМЕННОГО ЭЛЕКТРИЧЕСКОГО ПОЛЯ НА ОБРАЗОВАНИЕ САЖИ В ДИФФУЗИОННЫХ УГЛЕВОДОРОДНЫХ ПЛАМЕНАХ НИЗКОГО ДАВЛЕНИЯ НА ВСТРЕЧНЫХ СТРУЯХ

Исследовано влияние постоянных и переменных электрических, а также магнитного полей на образование сажи в плоских диффузионных ацетилено- и бензол-кислородных пламенах низкого давления на встречных струях. При наложении па пламя электрических полей наблюдалось уменьшение выхода сажи и образование в пламени плотных агрегатов в виде ламелей и капелек. Показано, что сажевые

© Э. Н. Таран, 1993.